



UFC – UNIVERSIDADE FEDERAL DO CEARÁ

CAMPUS SOBRAL

Curso de Engenharia da Computação

Disciplina: Algoritmos em Grafos

Pseudocódigos

Equipe:

Gerônimo Pereira Aguiar - 385145

Pedro Renoir Silveira Sampaio - 389113

Samuel Hericles Souza Silveira - 389118

1 - Bellman-Ford

1.1 - Pseudocódigo

```
Bellman_Ford (G, weights, initial)
| for every vertex  $\in V$ 
| |  $\lambda[\text{vértice}] \leftarrow \infty$ 
| |  $\pi[\text{vértice}] \leftarrow \text{null}$ 
|  $\lambda[\text{initial}] \leftarrow 0$ 
| for i from 1 to  $|V| - 1$ 
| | for every edge  $= (u, v) \in A$ 
| | | if  $\lambda[v] > \lambda[u] + \text{weights}(u, v)$ 
| | | |  $\lambda[v] \leftarrow \lambda[u] + \text{weights}(u, v)$ 
| | | |  $\pi[v] \leftarrow u$ 
```

1.2 - Funcionamento

Como o algoritmo Dijkstra, o algoritmo Bellman-Ford usa a técnica de relaxamento, ou seja, realiza sucessivas aproximações das distâncias até finalmente chegar na solução. A principal diferença entre Dijkstra e Bellman-Ford é que no algoritmo de Dijkstra é utilizada uma fila de prioridades para selecionar os vértices a serem relaxados, enquanto o algoritmo de Bellman-Ford simplesmente relaxa todas as arestas. G é um grafo no formato $G = (V, A)$, $\pi[v]$ indica o predecessor de v , $\lambda[v]$ é o custo de sair da origem e chegar até o vértice v e inicial é o vértice inicial. Após o término do algoritmo, para cada v pertencente aos vértices de G , $\pi[v] \rightarrow y$ representa uma aresta selecionada para a árvore geradora mínima (se $y \neq \text{nulo}$) e, pensando em árvore, $\lambda[v]$ representa a distância da raiz até o vértice v .

1.3 - Complexidade

O algoritmo de Bellman-Ford executa em tempo $O(V \times E)$ onde V é o número de vértices e E o número de arestas.

2 - Busca em profundidade

2.1 - Pseudocódigo

```
Busca-em-Profundidade (n, Adj, r)
Para u ← 1 até n faça
  | cor[u] ← branco
  cor[r] ← cinza
  P ← Cria-Pilha (r)
  Enquanto P não estiver vazia faça
    | u ← Cópia-Topo-da-Pilha (P)
    | v ← Próximo (Adj[u])
    | Se v ≠ nil
      | | Então se cor[v] = branco
      | | | Então cor[v] ← cinza
      | | | Coloca-na-Pilha (v, P)
      | | | | Senão cor[u] ← preto
      | | | | Tira-da-Pilha (P)
    | Retorna cor[1..n]
```

2.2 - Funcionamento

Formalmente, um algoritmo de busca em profundidade realiza uma busca não-informada que progride através da expansão do primeiro nó filho da árvore de busca, e se aprofunda cada vez mais, até que o alvo da busca seja encontrado ou até que ele se depare com um nó que não possui filhos (nó folha). Então a busca retrocede (backtrack) e começa no próximo nó. Numa implementação não-recursiva, todos os nós expandidos recentemente são adicionados a uma pilha, para realizar a exploração. Quando ocorrem buscas em grafos muito grandes, que não podem ser armazenadas completamente na memória, a busca em profundidade não termina, em casos onde o comprimento de um caminho numa árvore de busca é infinito. O simples artifício de “lembrar quais nós já foram visitados” não funciona, porque pode não haver memória suficiente. Isso pode ser resolvido estabelecendo-se um limite de aumento na profundidade da árvore.

2.3 - Complexidade

Complexidade: $O(m+n)$

3 - Floyd-Warshall

3.1 - Pseudocódigo

```
Floyd-Warshall(Inteiro[1..n,1..n] grafo)
| # Inicialização
| VAR Inteiro[1..n,1..n] dist := grafo
| VAR Inteiro[1..n,1..n] pred
| Para i DE 1 A n
| | Para j DE 1 A n
| | | Se dist[i,j] < Infinito ENTÃO
| | | | pred[i,j] := i
| # Laço principal do algoritmo
| Para k DE 1 A n
| | Para i DE 1 A n
| | | Para j DE 1 A n
| | | | Se dist[i,j] > dist[i,k] + dist[k,j] ENTÃO
| | | | | dist[i,j] = dist[i,k] + dist[k,j]
| | | | | pred[i,j] = pred[k,j]
| Retorne dist
```

3.2 - Funcionamento

O algoritmo de Floyd-Warshall recebe como entrada uma matriz de adjacência que representa um grafo (V,E) orientado e valorado. O valor de um caminho entre dois vértices é a soma dos valores de todas as arestas ao longo desse caminho. As arestas E do grafo podem ter valores negativos, mas o grafo não pode conter nenhum ciclo de valor negativo. O algoritmo calcula, para cada par de vértices, o menor de todos os caminhos entre os vértices. Por exemplo, o caminho de menor custo. Assumindo que os vértices de um grafo orientado G são $V = 1, 2, 3, \dots, n$, considere um subconjunto $1, 2, 3, \dots, k$. Para qualquer par de vértices (i, j) em V , considere todos os caminhos de i a j cujos vértices intermediários pertencem ao subconjunto $1, 2, 3, \dots, k$, e p como o mais curto de todos eles. O algoritmo explora um relacionamento entre o caminho p e os caminhos mais curtos de i a j com todos os vértices intermediários em $1, 2, 3, \dots, k-1$. O relacionamento depende de k ser ou não um vértice intermediário do caminho p .

3.3 - Complexidade

Complexidade de $O(V^3)$.

3.4 - Exemplo de execução

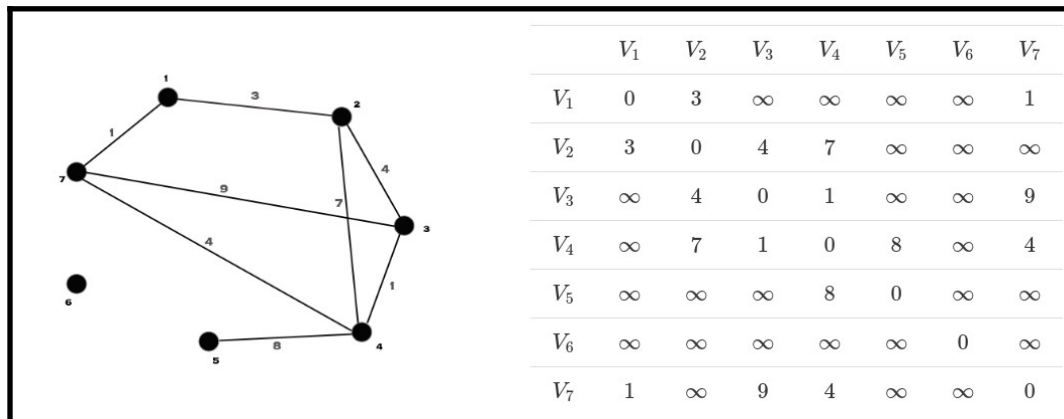


Figura 1 - Estrutura do grafo inicial

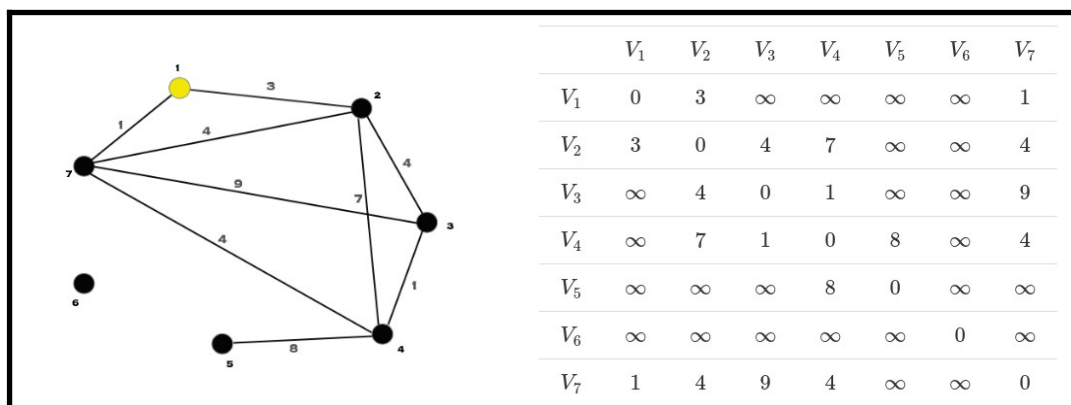


Figura 2 - Começamos executando no vértice 1 é a única distância que alteramos é entre os vértices 2 e 7.

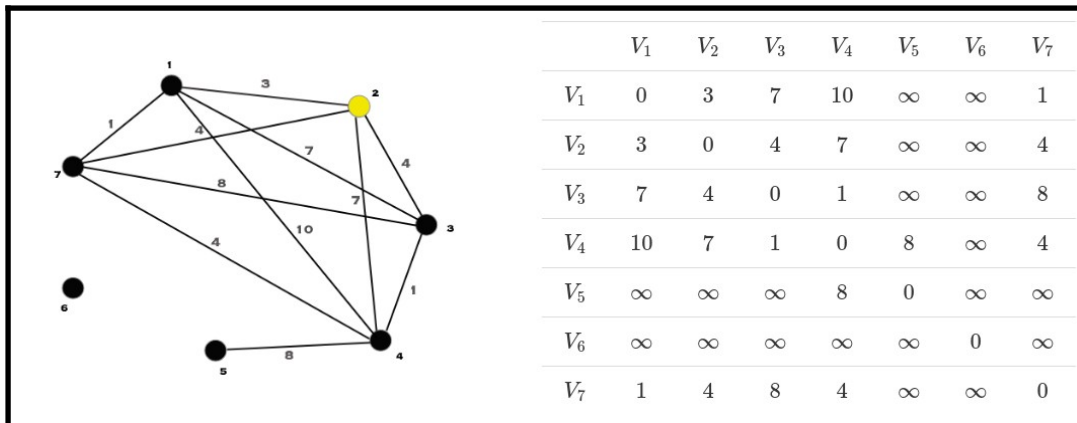


Figura 3 - Agora vamos para o vértice 2 e alteramos as distâncias entre os pares (1,3), (1,4) e (3,7).

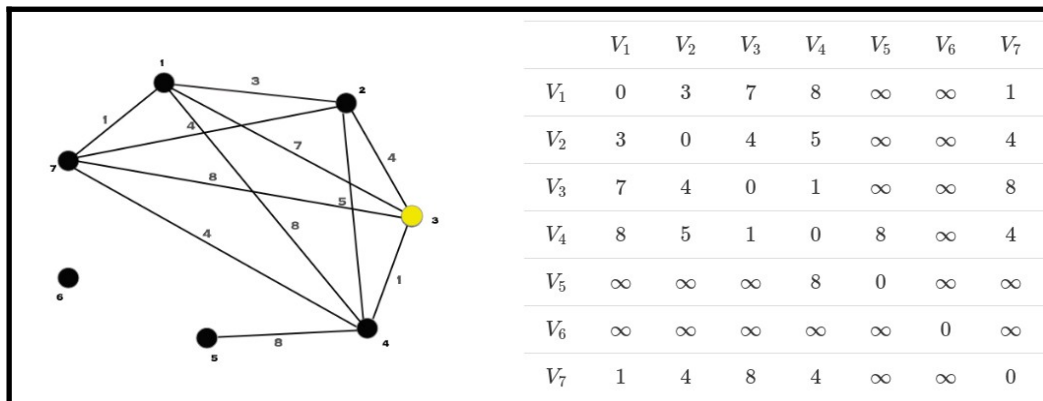


Figura 4 - Vamos para o vértice 3, onde atualizamos as distâncias entre os pares (1,4) e (2,4).

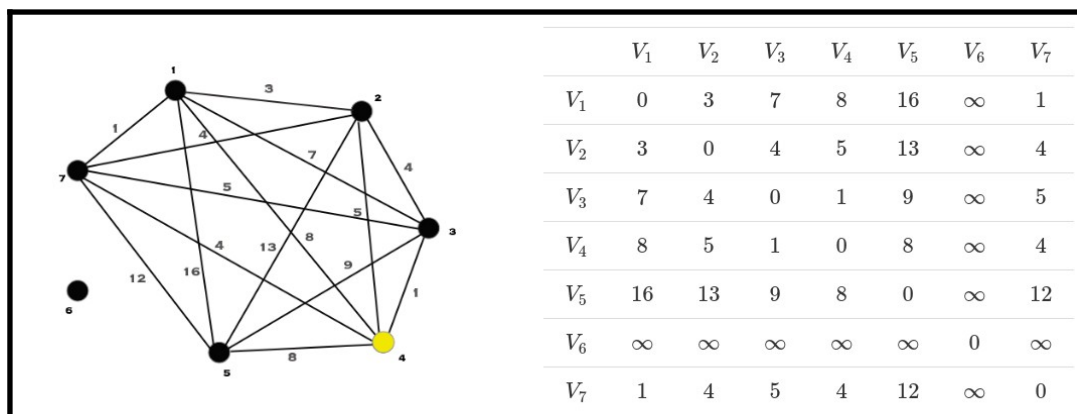


Figura 5 - Para o vértice 4, onde atualizamos as distâncias dos pares (1,5), (2,5), (3,5), (3,7) e (5,7).

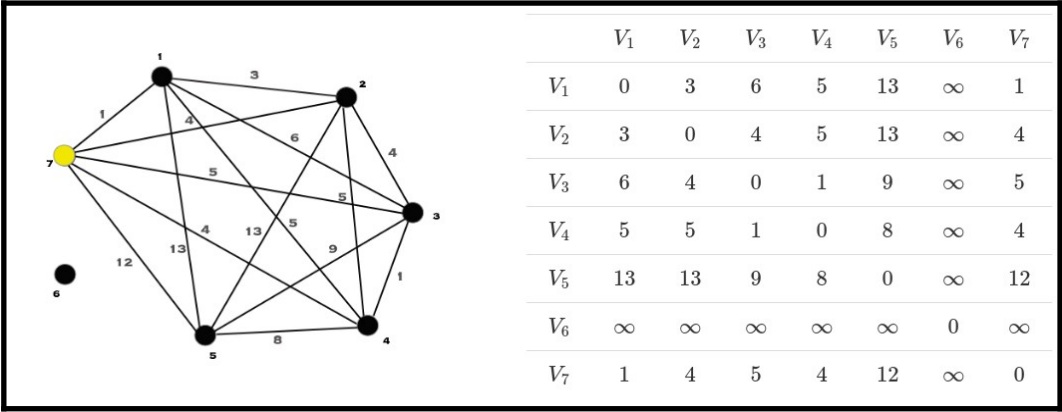


Figura 6 - Quando executamos o processo nos vértices 5 e 6, nada é alterado. Quando executamos no vértice 7, alteramos as distâncias dos pares (1,3), (1,4), (1,5).

4 - Shortest-Path

4.1 - Pseudocódigo

Shortest-Path-Main(W)

L = W

Para i = 2 até n

| L = Shortest-Path(L,W)

Retorne L

Shortest-Path ($L^{(m)}$, W)

Cria L(m+1) = inf

Para todo i $\in V$

| **Para todo** j $\in V$

| | c = 0

| | **Para todo** k $\in V$

| | | c += L(m)[i,k] + W[k,i]

| | L(m+1)[i,j] = c

| **Retorne** L(m+1)

4.2 - Funcionamento

Defina todas as distâncias dos vértices = infinito, exceto o vértice da fonte, defina a distância da fonte = 0. Empurre o vértice de origem em uma fila de prioridade mínima no formato (distância, vértice), pois a comparação na fila de prioridade mínima será de acordo com as distâncias dos vértices. Defina o vértice com a distância mínima da fila de prioridade (primeiro o vértice estourado = origem). Atualize as distâncias dos vértices conectados ao vértice estourado no caso de "distância atual do vértice + peso da borda < distância do próximo vértice" e empurre o vértice com a nova distância da fila de prioridade. Se o vértice popped já tiver sido visitado antes, continue sem usá-lo. Aplique o mesmo algoritmo novamente até que a fila de prioridade esteja vazia.

4.3 - Complexidade

Complexidade: $O(n^2)$

4.4 - Exemplo de execução

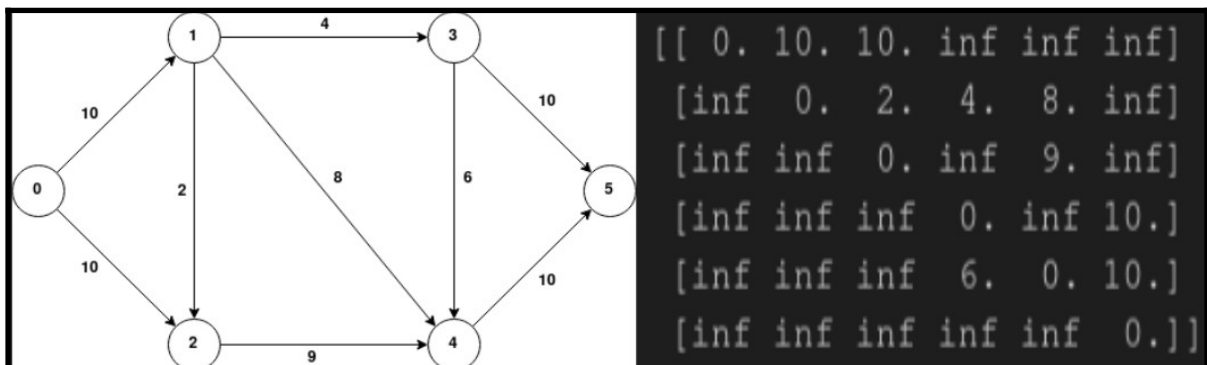


Figura 7 - Entrada da matriz de pesos do grafo direcionado w . Neste momento é definido também $L^0 = w$.

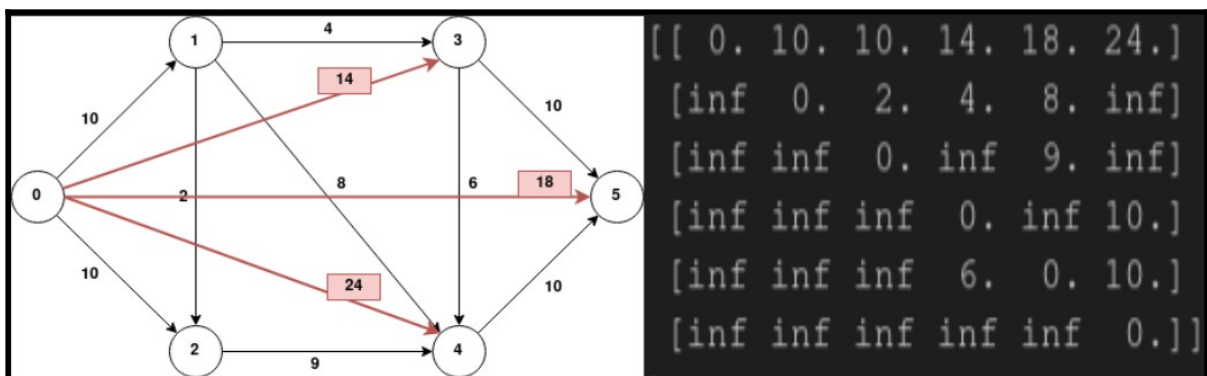


Figura 8 - Primeira iteração, entrada na função Shortest-Path para calcular $L^1 = c = L^0[0,k] + w[k,j]$.

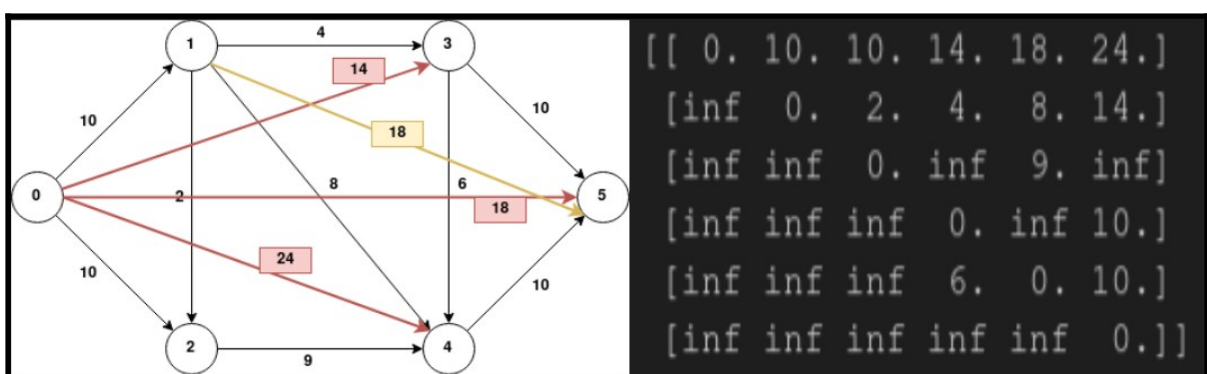


Figura 9 - Segunda iteração, entrada na função Shortest-Path para calcular $L^2 = c = L^1[1,k] + w[k,j]$.

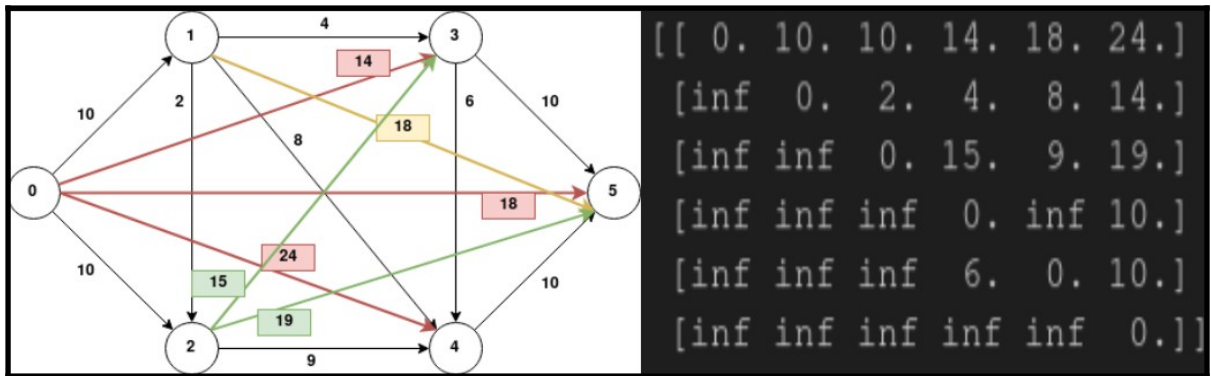


Figura 10 - Última iteração, entrada na função Shortest-Path para calcular $L^3 = c = L^2[2,k] + w[k,j]$. Aqui o algoritmo pára, pois há caminho mínimo de todos os vértices para todos os outros.

5 - Extend-Shortest-Path

5.1 - Pseudocódigo

MenorRec(G,w)

| **Inicializa** L

| **Para cada** $i, j \in V$

| | $L_{ij} = \text{calc}(G, w, i, j, n)$

| **Retorna** L

Calc(G,w,i,j,m)

| **Se** $i = j$

| | **Retorna** 0

| **Se** $m = 1$

| | **Retorna** $w(i, j)$

| $c = \text{inf}$

| **Para cada** $k \in V$

| | **Se** $c > \text{Calc}(G, w, i, k, m-1) + w(k, j)$

| | | $c = \text{Calc}(G, w, i, k, m-1) + w(k, j)$

| **Retorne** c

5.2 - Funcionamento

Algoritmo que calcula o menor caminho de todos os pares de vértices, calcula os pesos de caminhos curtos estendendo os caminhos mais curtos aresta por aresta.

Tomando como nossa entrada $W = (w_{ij})$, calculamos agora uma série de matrizes L^1, L^2, \dots, L^{n-1} , onde, para $m = 1, 2, \dots, n-1$ temos L^m . A matriz final L^{n-1} contém os pesos reais de caminhos mais curtos. Observe que, consideramos-se $L^1 = W$ para todos os vértices $i, j \in V$, temos $L^1 = W$.

O núcleo do algoritmo é o procedimento a seguir que, dadas às matrizes L^{m-1} e W , retorna a matriz L^m . Isto é, ele estende os caminhos mais curtos calculados até agora por mais uma aresta.

5.3 - Complexidade

Execução: $O(n^3)$

5.4 - Exemplo de execução

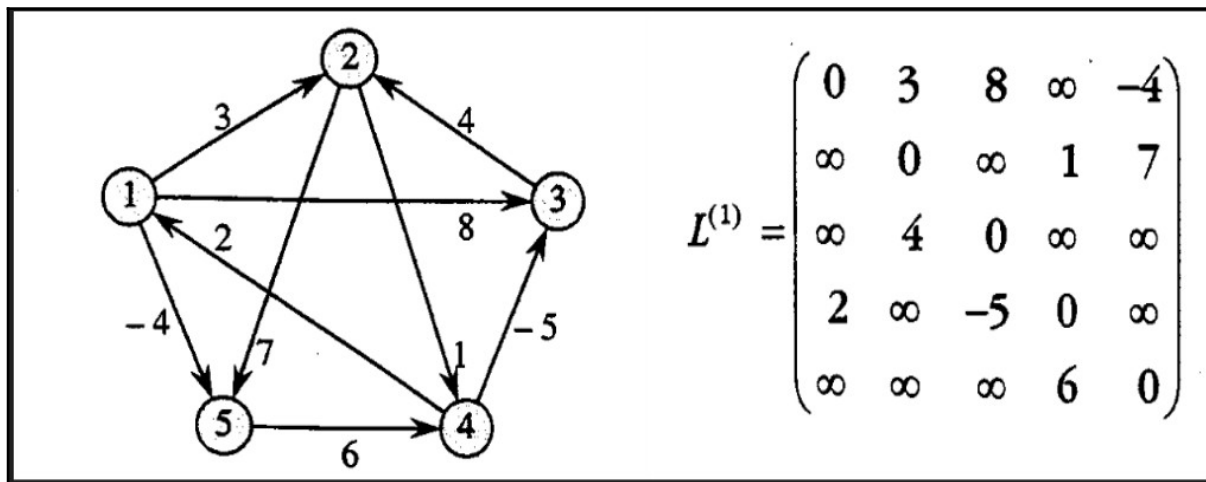


Figura 11 - Primeira iteração, grafo problema com suas arestas e a matriz L da primeira iteração antes entrar no algoritmo.

$$L^{(2)} = \begin{pmatrix} 0 & 3 & 8 & 2 & -4 \\ 3 & 0 & -4 & 1 & 7 \\ \infty & 4 & 0 & 5 & 11 \\ 2 & -1 & -5 & 0 & -2 \\ 8 & \infty & 1 & 6 & 0 \end{pmatrix}$$

Figura 12 - Segunda iteração, matriz $L^2 = W^2$

$$L^{(3)} = \begin{pmatrix} 0 & 3 & -3 & 2 & -4 \\ 3 & 0 & -4 & 1 & -1 \\ 7 & 4 & 0 & 5 & 11 \\ 2 & -1 & -5 & 0 & -2 \\ 8 & 5 & 1 & 6 & 0 \end{pmatrix}$$

Figura 13 - Terceira iteração, matriz $L^3 = W^3$

$$L^{(4)} = \begin{pmatrix} 0 & 1 & -3 & 2 & -4 \\ 3 & 0 & -4 & 1 & -1 \\ 7 & 4 & 0 & 5 & 3 \\ 2 & -1 & -5 & 0 & -2 \\ 8 & 5 & 1 & 6 & 0 \end{pmatrix}$$

Figura 14 - Quarta e última iteração, matriz $L^4 = W^4$. Não é possível esboçar o grafo devido ser uma a restrições de dimensionalidade, ou seja, alguma aresta vai passar por cima da outra.

6 - Ford-Fulkerson

6.1 - Pseudocódigo

```
Ford-Fulkerson(G, s, t)
For cada aresta (u,v) <- E[G]
| do f[u,v] <- 0
| | f[v,u] <- 0
While existir um caminho p de s até t na rede residual  $G_f$ 
| do  $c_f(p)$  <-  $\min\{c_f(u,v) : (u,v) \text{ está em } p\}$ 
| | for cada aresta (u,v) em p
| | | do f[u,v] <- f[u,v] +  $c_f(p)$ 
| | | | f[v,u] <- f[v,u]
```

6.2 - Funcionamento

Em cada iteração do método de Ford-Fulkerson, encontramos algum caminhos aumentante p e aumentamos o fluxo f em cada aresta de p pela capacidade residual $c_f(p)$. A implementação do método a seguir calcula o fluxo máximo em um grafo $G = (V, E)$ atualizando o fluxo $f[u, v]$ entre cada par u, v de vértices que estão conectados por uma aresta. Se u e v não estão conectados por uma aresta em um ou outro sentido, supomos implicitamente que $f[u, v] = 0$. As capacidades $c(u, v)$ são consideradas dadas juntamente com o grafo, e $c(u, v) = 0$ se $(u, v) \notin E$. A capacidade residual $c_f(u, v)$ é calculada de acordo com a fórmula

$$(c_f(u, v) = c(u, v) - f(u, v).$$

A expressão $c_f(p)$ no código é na realidade apenas uma variável temporária que armazena a capacidade residual do caminho p . O algoritmo de Ford-Fulkerson, também conhecido como algoritmo dos pseudo caminhos aumentadores, resolve o problema do fluxo máximo. Cada iteração começa com um fluxo f que respeita às capacidades dos arcos. A primeira iteração começa com o fluxo nulo. O processo iterativo consiste no seguinte: enquanto existe pseudo caminho aumentador, encontra um pseudo caminho aumentador P , calcule a capacidade residual δ de P , envie δ unidades de fluxo ao longo de P e atualiza f .

6.3 - Complexidade

A complexidade do algoritmo é $O(mf)$, em que m representa o número de arestas presentes no grafo G e f o fluxo máximo encontrado.

6.4 - Exemplo de execução

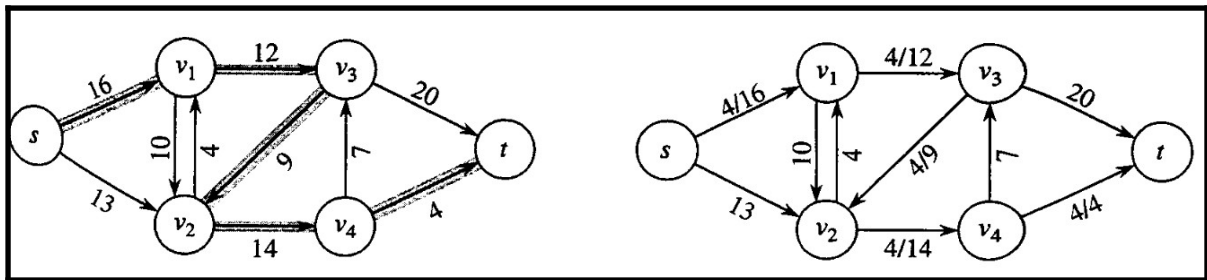


Figura 15 - Primeira iteração, a rede de entrada, o algoritmo encontra um caminho com maior peso ($s \rightarrow v_1 \rightarrow v_3 \rightarrow v_2 \rightarrow v_4 \rightarrow t$), veja na imagem a direita. Após isso, adiciona o 4 (menor peso) entre as arestas desse caminho na matriz fluxo e insere 4 na variável do fluxo máximo.

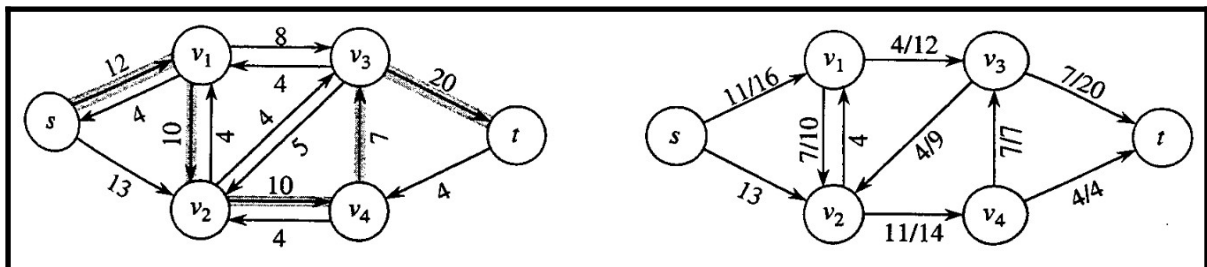


Figura 16 - Segunda iteração, o algoritmo encontra outro caminho com maior peso ($s \rightarrow v_1 \rightarrow v_2 \rightarrow v_4 \rightarrow v_3 \rightarrow t$), veja na imagem a direita. Após isso, adiciona o 7 (menor peso) entre as arestas desse caminho na matriz fluxo e insere 7 na variável do fluxo máximo.

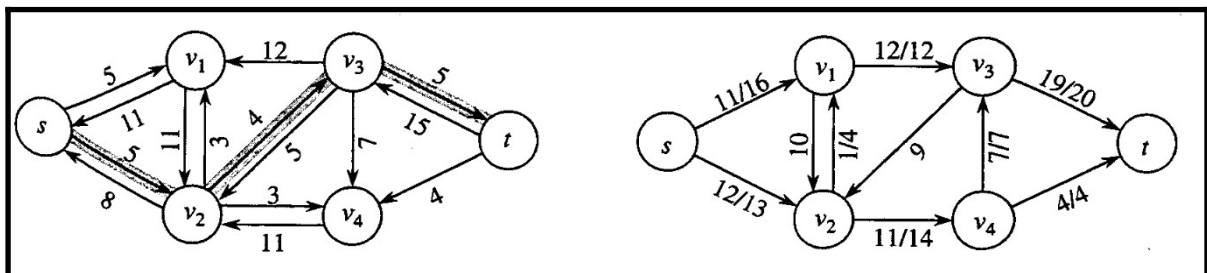


Figura 17 - Terceira iteração, o algoritmo encontra outro caminho com maior peso ($s \rightarrow v_2 \rightarrow v_3 \rightarrow t$), veja na imagem a direita. Após isso, adiciona o 5 (menor peso) entre as arestas desse caminho na matriz fluxo e insere 5 na variável do fluxo máximo.

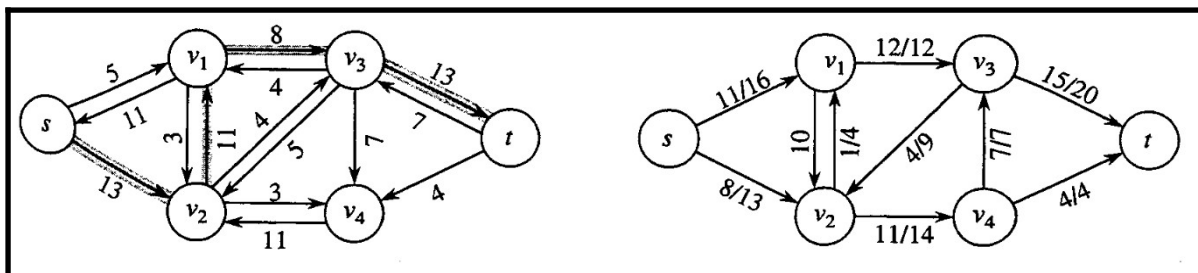


Figura 18 - Última iteração, o algoritmo encontra outro caminho com maior peso ($s \rightarrow v_2 \rightarrow v_1 \rightarrow v_3 \rightarrow t$), veja na imagem a direita. Após isso, adiciona o 8 (menor peso) entre as arestas desse caminho na matriz fluxo e insere 8 na variável do fluxo máximo.

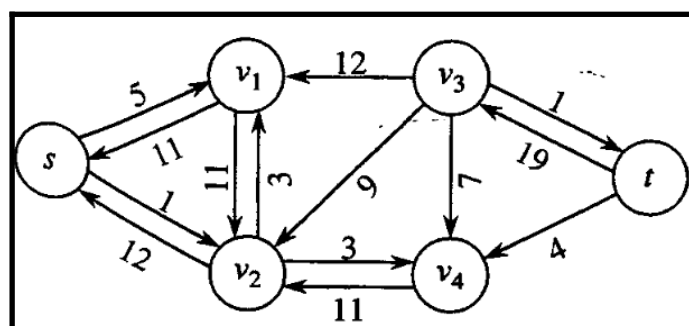


Figura 19 - A rede residual no último teste do loop while.

7 - Push–relabel

7.1 - Pseudocódigo

Push(f, h, v, w)

Enquanto $e(v) > 0, h(w) < h(v)$ e $(v, w) \in G_f$

Se (v, w) é uma aresta direta de G_f então

$e \leftarrow (v, w)$

$\varepsilon \leftarrow \min(e(v), u(e) - f(e))$

$f(e) \leftarrow f(e) + \varepsilon$

Se (v, w) é uma aresta inversa de G_f então

$e \leftarrow (w, v)$

$\varepsilon \leftarrow \min(e(v), f(e))$

$f(e) \leftarrow f(e) - \varepsilon$

Retorna (f, h)

Relabel(f, h, v)

Enquanto $e(v) > 0$ e $h(w) \geq h(v)$ para toda aresta $(v, w) \in G_f$

$h(v) \leftarrow h(v) + 1$

Retorna(f, h)

Generic-Push-Relabel(G, s, t)

Para cada v em V faça $h(v) \leftarrow 0$

$h(s) \leftarrow |V|$

Para cada $e \leftarrow (v, w)$ em G_f faça

Se $v = s$ então $f(e) \leftarrow u(e)$

Senão $f(e) \leftarrow 0$

Enquanto existe vértice $v \neq t$ com $e(v) > 0$ faça

 Seja v um vértice com excesso positivo

Se existe aresta (v, w) com $h(w) < h(v)$ então $\text{push}(f, h, v, w)$

Senão $\text{relabel}(f, h, v)$

Retorna f

7.2 - Funcionamento

Para calcular o fluxo descrito em 2, o algoritmo utiliza duas funções principais: push e relabel. Tais funções mantêm os seguintes dados:

Fluxo de u para v $f(u, v)$. A capacidade disponível é dada por $c(u, v) - f(u, v)$. $h(u)$. Nós chamamos a função push de u para v apenas se $h(u) > h(v)$. Para todos u , $h(u)$ é um inteiro positivo. $e(u)$. Soma do fluxo de e para u .

Após cada passo do algoritmo, teremos um pré-fluxo que deve satisfazer às

seguintes condições:

$f(u,v) < c(u,v)$. O fluxo entre u e v não excede a capacidade.

$f(u,v) = -f(v,u)$. Mantemos o fluxo da rede.

$\sum f(v,u) = \text{express}(u) \geq 0$ para todos os nós $u \neq s$. Somente a fonte pode produzir fluxo.

7.3 - Complexidade

O algoritmo push-relabel é um dos algoritmos de fluxo máximo mais eficientes. O algoritmo genérico tem uma complexidade de tempo $O(V^2 E)$.

7.4 - Exemplo de execução

A figura 20 é o exemplo de grafo para demonstrar o funcionamento do algoritmo.

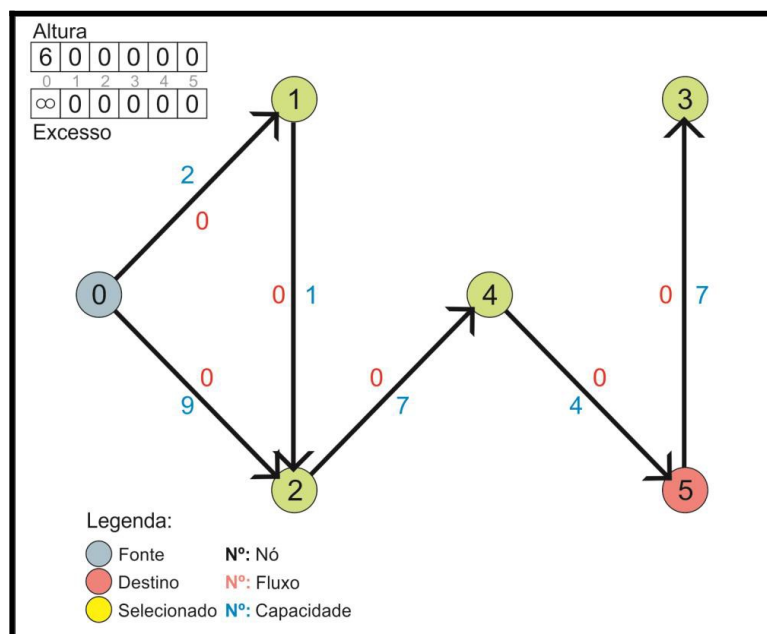


Figura 20 - Grafo em estado inicial.

Inicialmente, o algoritmo iguala a altura do vértice inicial com o número de vértices presente no grafo e inicia todos os outros vértices com altura zero.

A partir deste ponto, chamamos a função push do nó inicial para todos seus vizinhos enviando todo o fluxo permitido pela capacidade de suas arestas. A figura 21 demonstra a situação do fluxo após o push inicial, onde podemos observar a mudança de $f(0,1)$ e $f(0,2)$.

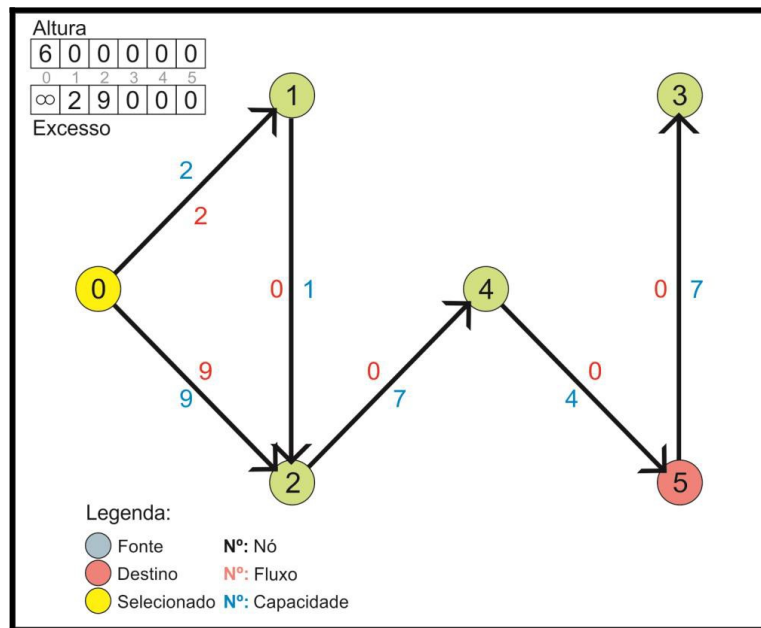


Figura 21 - Grafo após push da fonte para seus vizinhos.

Após o push inicial partindo do nó fonte, observamos além da mudança no fluxo, também o vetor que controla o excesso presente no fluxo atual tem seus valores no nó 1 e 2 atualizados. Como todos os nós fora o fonte estão com sua altura zero e podemos apenas enviar fluxo de um nó mais alto para um nó mais baixo, será necessário chamar a função relabel para aumentar minimamente a altura tornando possível o envio de fluxo do nó corrente.

Após o ajuste na altura, iremos enviar todo o fluxo possível do nó corrente para seus vizinhos através de função push. Caso ainda haja excesso de fluxo no nó corrente, enviaremos fluxo de volta para a fonte. As figuras a seguir demonstram a execução completa do algoritmo para o grafo exemplo.

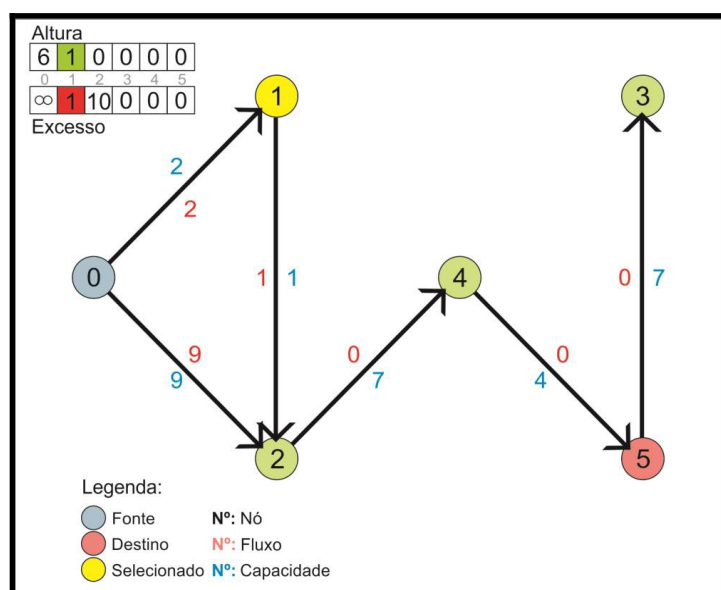


Figura 22 - Push a partir do nó um.

Podemos observar na figura 22 que só é possível realizar o $\text{push}(1,2)$ pois a altura do nó 1 foi aumentada na função relabel. Mesmo após o push de 1 para seus vizinhos ainda há excesso no nó selecionado, então será necessário devolver fluxo para a fonte. A figura 23 demonstra que foi necessário tornar a altura do nó 1 maior que a altura do nó fonte, utilizando a função relabel, para podermos devolver fluxo. Isso se deve ao princípio citado anteriormente nessa sessão, onde para poder enviar fluxo de um nó a para um nó b, $\text{height}(a) > \text{height}(b)$. Retornando o fluxo para a fonte, o excesso do nó 1 é zerado e podemos prosseguir para o próximo nó.

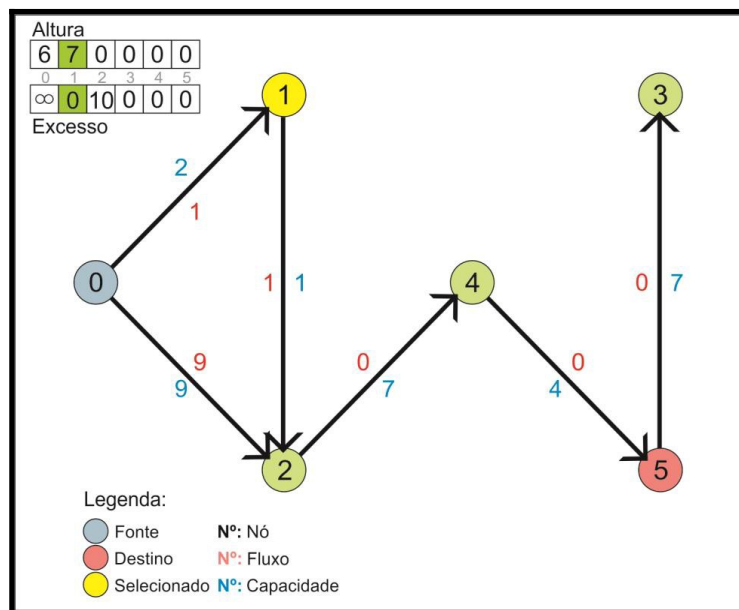


Figura 23 - Retorno de fluxo para fonte.

Como conseguimos zerar o excesso do nó 1, o algoritmo pula para o próximo nó e repete os passos descritos anteriormente.

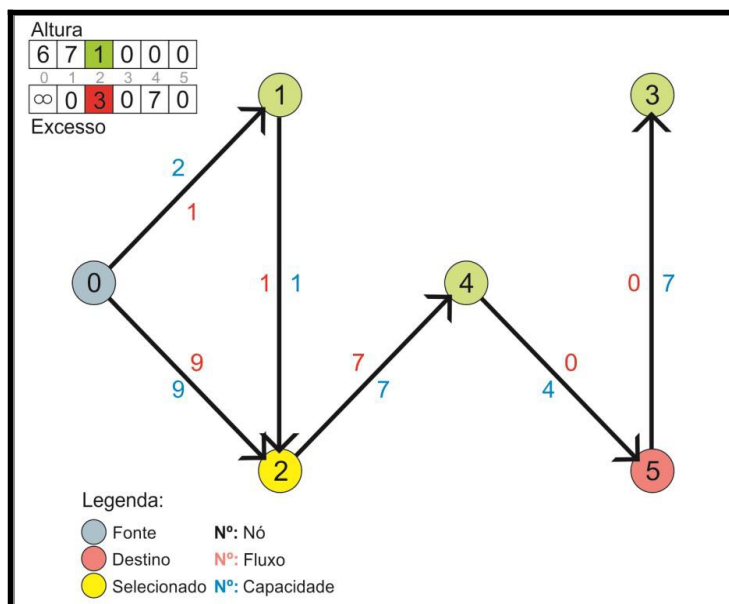


Figura 24 - Relabel(2) e push(2,4)

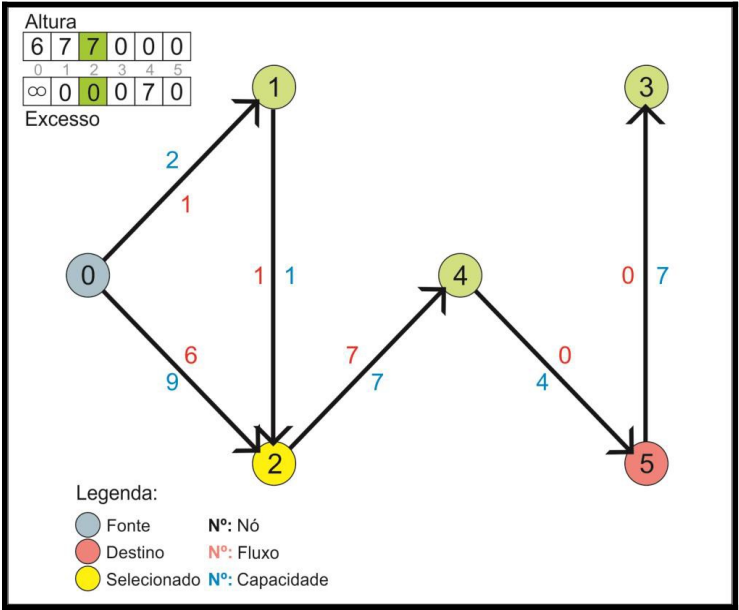


Figura 25 - Retorno de fluxo do nó 2 para fonte.

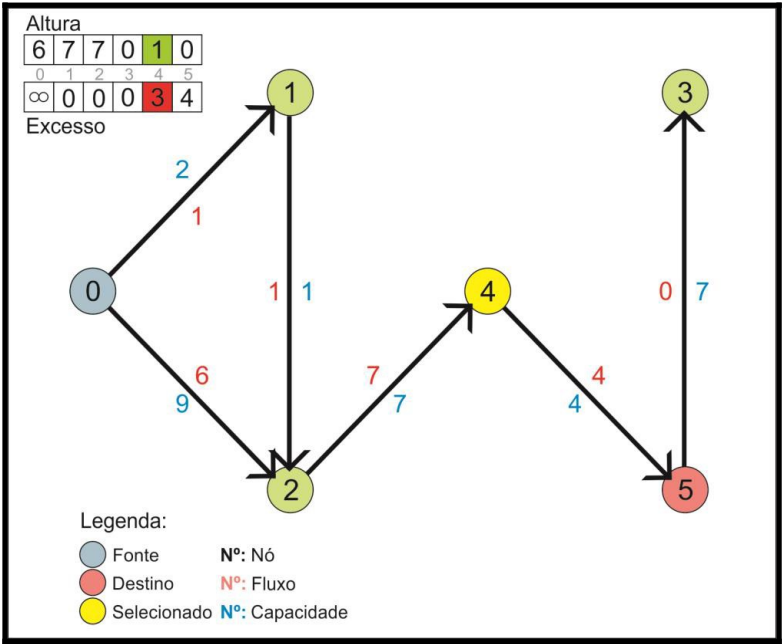


Figura 27 - Relabel(4) e push(4,5).

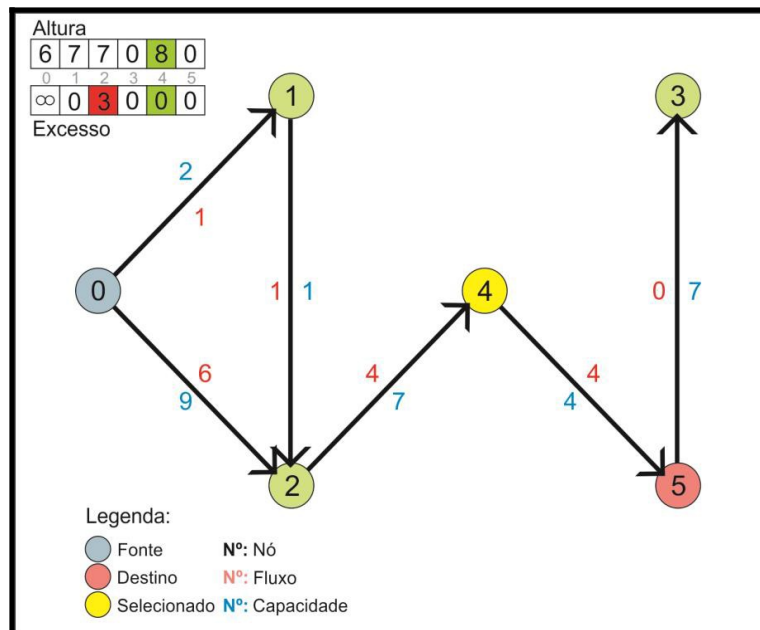


Figura 28 - Retorno de fluxo do nó 4 para o nó 2.

Na figura 28, que o retorno de fluxo não é feito diretamente para a fonte e sim para o nó 2, o que aumentará novamente o excesso do nó 2, fazendo necessário também o retorno do excesso dele.

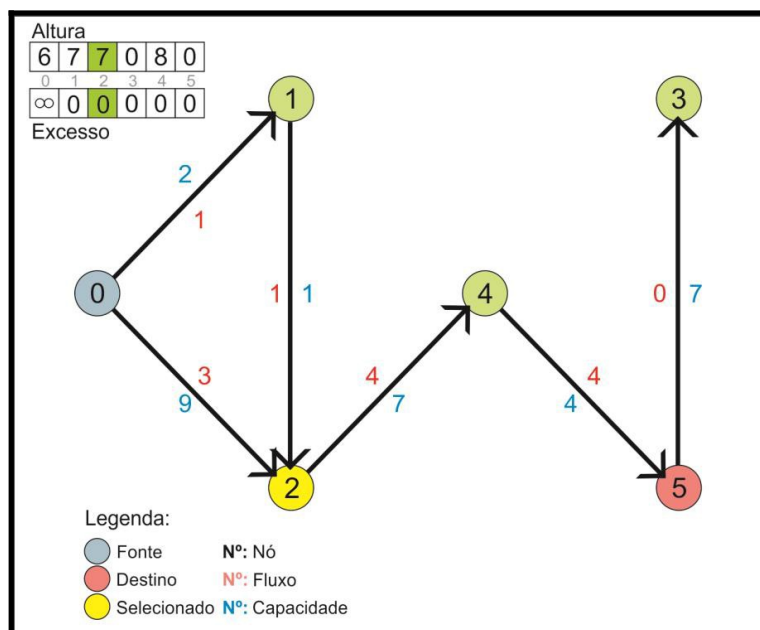


Figura 29 - Retorno de fluxo do nó 2 para fonte.

Na figura 29 podemos observar que não há nenhum nó com excesso de fluxo, então o algoritmo retorna a soma dos fluxos partindo da fonte, ou seja, o fluxo máximo que pode ser enviado do nó fonte para o nó destino.